

Anlage 4.2

Berechnungsergebnisse zu Setzungen und Verformungen

Querschnitt E-E' – unverdichtete Auffüllung-3

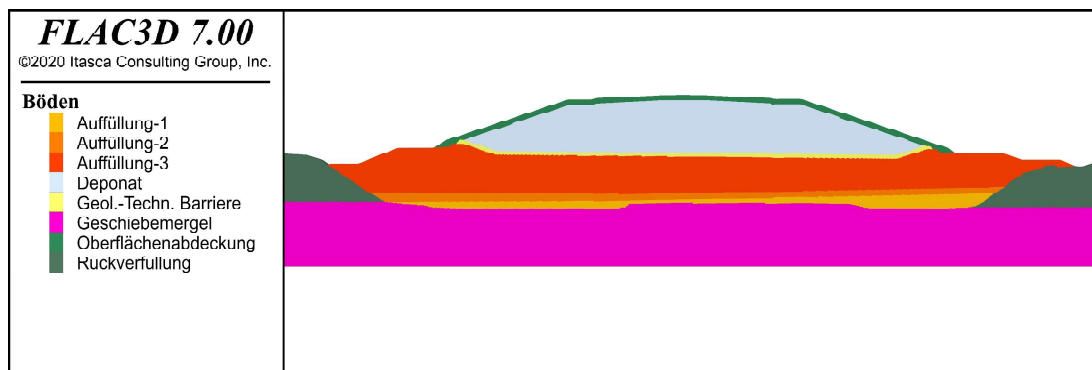


Abbildung 1: Umsetzung der Geometrie des Querschnittes E-E' im Modell. Modelliert wurde der komplette Querschnitt, dargestellt ist der Bereich des Deponiekörpers (Stat. 120 m bis Stat. 410 m).

Tabelle 1: Kennwerte der Böden für die geotechnische Berechnung des Querschnittes E-E'.

Boden	γ_n	ϕ	ψ	c	E_s	ν
	[kN/m ³]	[°]	[°]	[kN/m ²]	[MN/m ²]	[-]
Oberflächenabdeckung	20,0	22,0	0,0	8,0	15,0	0,38
Deponiekörper	20,0	22,0	0,0	5,0	15,0	0,38
Geol.-Techn. Barriere	20,5	22,0	0,0	8,0	15,0	0,38
Auffüllung-3 (unverdichtet)	20,0	22,0	0,0	5,0	3,0	0,38
Auffüllung-2	20,0	22,0	0,0	5,0	10,0	0,38
Auffüllung-1	20,0	22,0	0,0	5,0	12,0	0,38
Geschiebemergel = Auffüllung 0	23,0	33,0	0,0	18,0	15,0	0,31

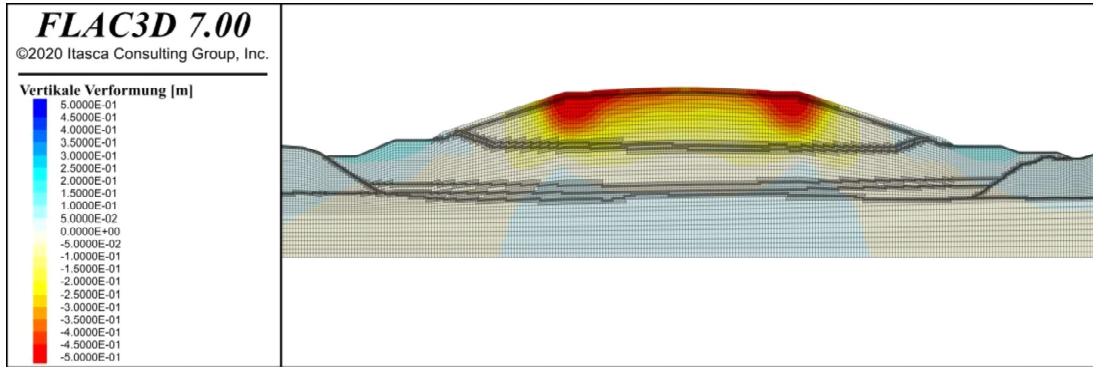


Abbildung 2: Konturdarstellung der Vertikalen Verformung.

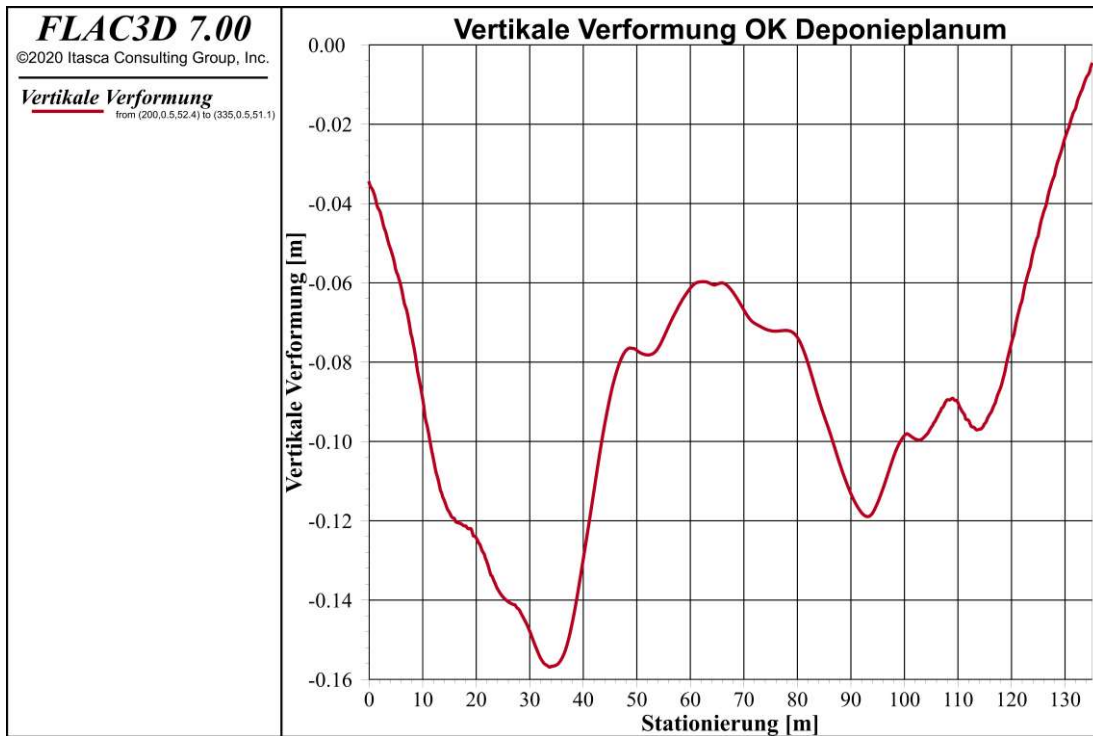


Abbildung 3: Vertikale Verformung an der Oberfläche des Deponieplanums. Die Stationierung 0,0 m entspricht der Stationierung 200,0 m des Querschnittes E-E'.

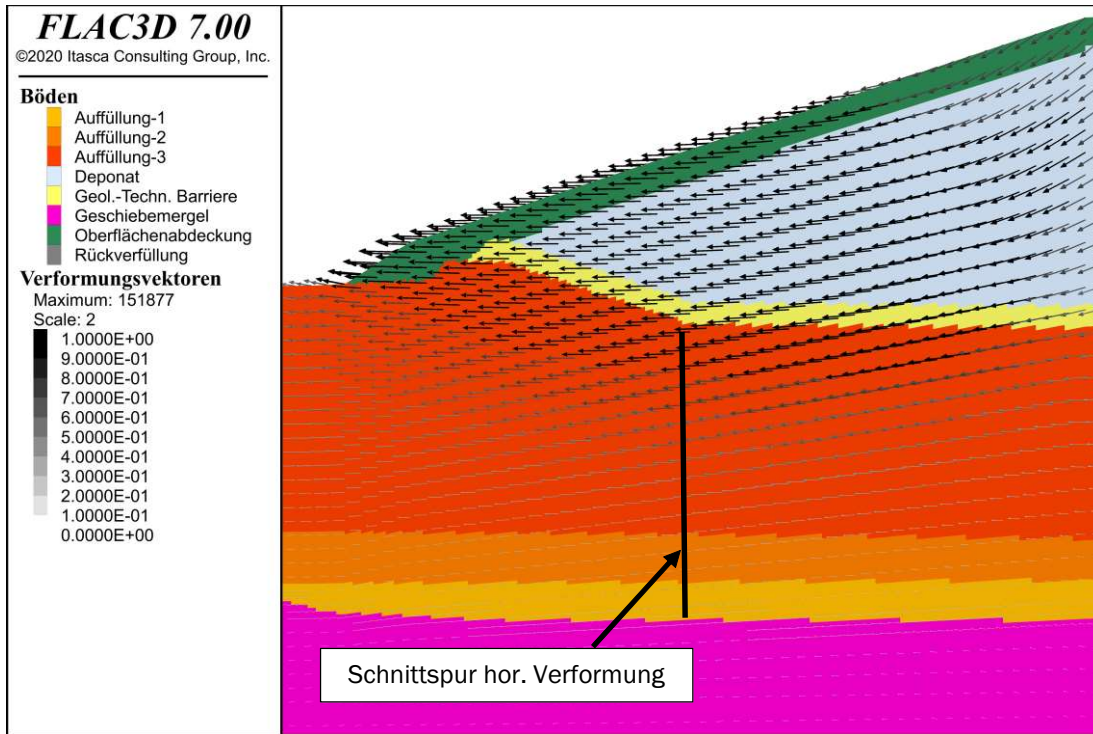


Abbildung 4: Darstellung der Verformungsvektoren für den linken Rand der Deponie bei Querschnittes E-E'. Die horizontale Verformung in der Auffüllung entlang der Schnittspur (schwarze Linie) ist in Abbildung 5 dargestellt.

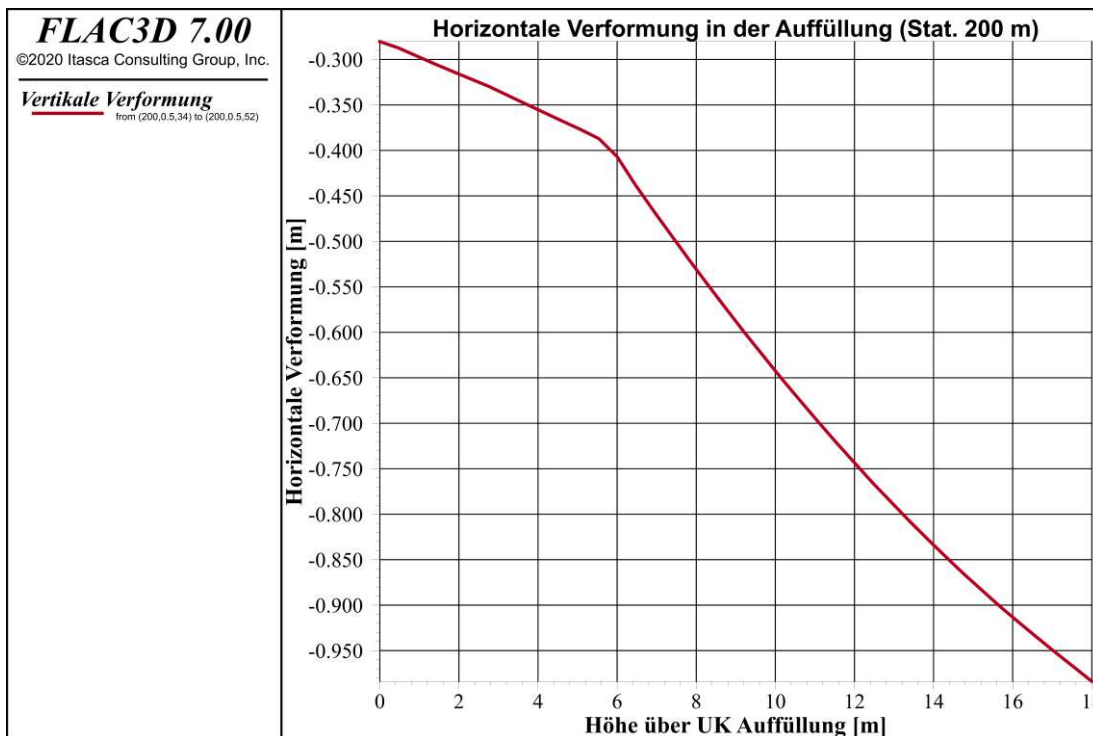


Abbildung 5: Horizontale Verformung von der Unterkante der Auffüllung bis zur Oberkante des Deponieplans bei Stationierung 200,0 m des Querschnittes E-E'.

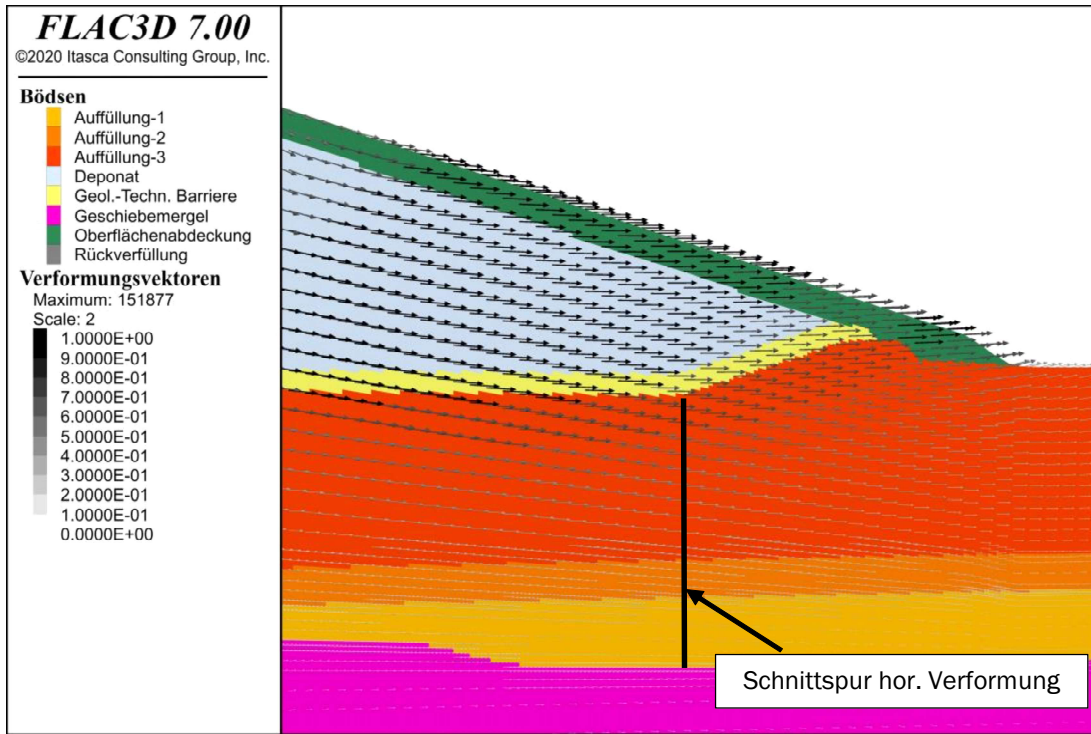


Abbildung 6: Darstellung der Verformungsvektoren für den rechten Rand der Deponie bei Querschnittes E-E'. Die horizontale Verformung in der Auffüllung entlang der Schnittspur (schwarze Linie) ist in Abbildung 7 dargestellt.

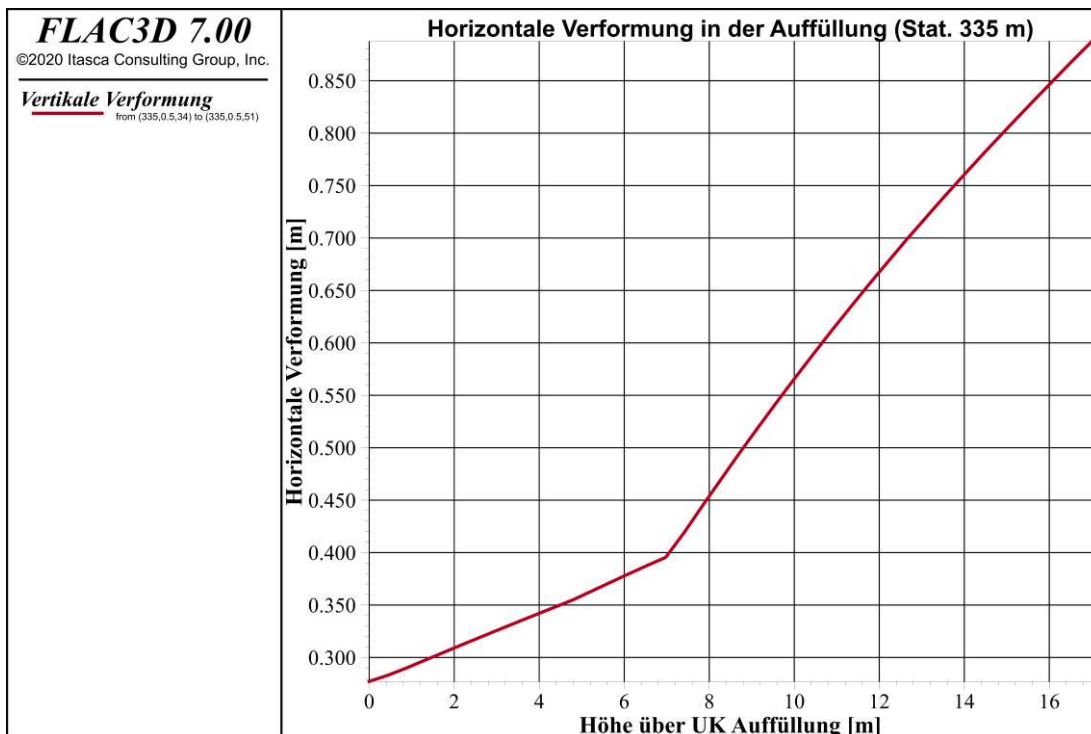


Abbildung 7: Horizontale Verformung von der Unterkante der Auffüllung bis zur Oberkante des Deponieplans bei Stationierung 335,0 m des Querschnittes E-E'.